

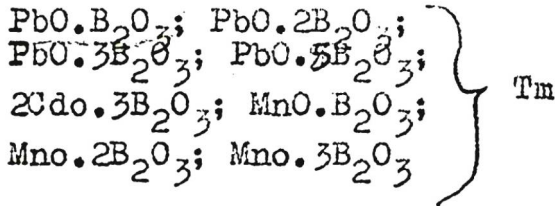
B - Ge, Pb, Sn

V 5162

1926

Mazzetti, De Carli

Gazz chim. ital, 1926, 56, 19



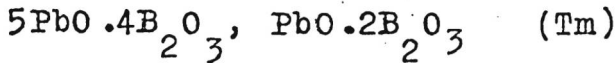
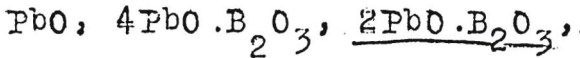
Be.

LC76 97-1C

F

6716

BoP-B416-IV; V 5163 1937



Geller R.F., Bunting E.N.  
J.Research.Natl.Bur.Standards  
1937, 18, 585-93

System ...

Be

(P)



1948

PbO·B<sub>2</sub>O<sub>3</sub>, Shortliss L., Newman E. S.,PbO·SiO<sub>2</sub>, J. Res. NBS, 1948, 40, 474

Некоторые термодинамические свойства  
 смесей PbO-B<sub>2</sub>O<sub>3</sub> и PbO-SiO<sub>2</sub>

Теплота растворения PbO кристалл

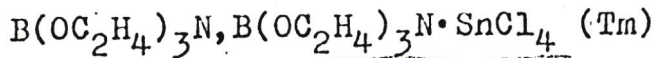
в 50.м HF + 2,5N HNO<sub>3</sub> водный

ΔH PbO  
 B<sub>2</sub>O<sub>3</sub> и SiO<sub>2</sub> не в расчете по весу (объемно) 648,52  
 = -88,4 ккал/г

свод)

V. 5215

1952



Hein F., Burkhardt R.

Z. anorg u allgem. Chem., 1952, 268, 159-68

The borate ester of triethanolamine and its complex compounds.



CA., 1953, 2125i

Be.

CAF.  $g^F - K$

6869

V 5161 1953

$Pb(PO_3)_2$   $Pb(VO_2)_2$  ( Tm )

Беляев И.Н., Ходаков А.Л., Шолохович М.  
И. физ. химии, 1953, 27, № 8, 1157-1162

Влияние титаната бария...

Be

Ⓟ



$B_2P_2O_4$

33

ЕОТН Ф. И.

V 5159 1960

~~5159~~

$(CH_3)_3GeI$ ,  $(CH_3)_3GeOH$ ,  $(CH_3)_3SnI$ ,

$(CH_3)_3SnCl$ ,  $(CH_3)_3GeOS$ ,  $(CH_3)_3SnOH$ ,

$(CH_3)_3GeOH \cdot HF$  (Ca, Rb)

DeYforth D., Kahlen II.

J. Organ. Chem., 1960, 25,

15, 309-312

Trimethyl

(iso)...

59

no. E 075 4.1

$BGeC_4NF_3H_9$

V 5164

1963

$\text{CaO} \cdot 2\text{B}_2\text{O}_3$ ;  $\text{SrO} \cdot 2\text{B}_2\text{O}_3$ ;  $\text{BaO} \cdot 2\text{B}_2\text{O}_3$ ;

$\text{BaO} \cdot 4\text{B}_2\text{O}_3$ ;  $\text{PbO} \cdot 2\text{B}_2\text{O}_3$  (Haq, Hn, S) (Ht-H<sub>298</sub>)

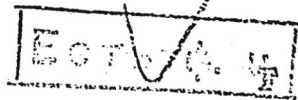
Stewart D.R., Rindone G.E.

J. Amer. Ceram. Soc., 1963, 46, N 12, 593-596

High-temperature energy relations in borates:  
alkaline earth and lead borate compounds and  
their glasses.

PJX., 1965, 3B466

Be.W., M.



~~ММММ~~

8

V 5794

1963

$Pb(OH)_2, PbCl_2, Pb(VO_2)_3, PbVO_2^+$

( Кр, Ир )

Шиголь М.Б.

Ж.неорган.химии, 1963, 8, № 6,  
1361-1369

О некоторых свойствах ...

☞ Ру

КОПИЯ ОРИГИНАЛА

4PbO · 5 B<sub>2</sub>O<sub>3</sub> · 2,5 H<sub>2</sub>O

ВР-В-5242 1965

(Sp)

12 В20. Получение и некоторые свойства бората свинца. Плышевский Ю. С., Смирнова Г. М., Ткачев К. В., Леонтьева И. А. «Изв. АН СССР. Неорганические материалы», 1965, 1, № 11, 1933—1937

При взаимодействии свинцового глета и р-ра H<sub>3</sub>BO<sub>3</sub> синтезирован борат свинца 4PbO · 5B<sub>2</sub>O<sub>3</sub> · 2,5H<sub>2</sub>O. Определены некоторые физ.-хим. св-ва полученного бората: р-римость, теплоемкость, температуропроводность и т. д.

По резюме авторов

6  
X. 1968. 12

PbVO<sub>2</sub>

17 Б550. Измерение давления паров и структурная интерпретация в жидких системах моноокись рубидия — окись бора. Adams C. E., Quan J. T. Vapor pressure measurements and a structural interpretation in the liquid system rubidium monoxide—boron oxide. «J. Phys. Chem.», 1966, 70, № 2, 331—340 (англ.)

1966

ΔH<sub>v</sub>

Методом переноса (газ-носитель — сухой воздух) изучено давл. паров расплавов Pb<sub>2</sub>O—B<sub>2</sub>O<sub>3</sub> различного состава (от 4,2 до 50 мол. % Pb<sub>2</sub>O). Показано, что в паре соотношение между Pb<sub>2</sub>O и B<sub>2</sub>O<sub>3</sub> всегда эквимол. Это является косвенным доказательством того, что испарение происходит в основном за счет молекул PbVO<sub>2</sub>. Другим доказательством явилось наличие пика 5,1 м в ИК-спектре, что совпадает с полосой поглощения метабора-иона, указанной в литературе. Результаты по давл. паров в области т-р 878—1353° выражены ур-нием

РЖХ, 1966,

$\lg p - 1/T$  для расплавов каждого состава и коэф. ур-ний представлены в таблице. Теплота испарения  $PbVO_2$  рассчитана из наклона прямой  $\lg p - 1/T$  для чистого жидк. метабората (расплав с 50%  $Rb_2O$ ) и равна  $57,3 \pm \pm 0,8$  ккал/моль. Показано, что при малых конц-ях  $Rb_2O$  активность  $PbVO_2$  в расплаве равна нулю и начинает расти, начиная от 16%  $Pb_2O$ , по-видимому, из-за образования структурных групп в расплаве. Активность  $PbVO_2$  уменьшается с добавлением к расплаву катионов, связывающих кислород ( $Mo^{6+}$ ,  $Nb^{5+}$ ,  $V^{5+}$ ,  $Ti^{4+}$ ).

В. Карелин

1966

$Pb_2B_2S_5$

23 Б252. Тиоборат  $Pb_2B_2S_5$ . Hagenmuller Paul, Chopin François, Castagna Bernard. Le thioborate  $Pb_2B_2S_5$ . «C. r. Acad. sci.», 1966, С262, № 5. 418—421 (франц.)

крист.

стр. ра

Рентгенографически (дифрактометрич. метод порошка Лауэ и ретиграфа,  $\lambda Cu-K_{\alpha}$ ) изучено соединение  $Pb_2B_2S_5$ , полученное при исследовании системы  $PbS-B_2S_3$ . Соединение синтезировано в запаянной кварцевой трубке при изоляции р-ционной массы графитом в интервале  $t-p$  700—950°. Тиоборат кристаллизуется в тетрагон. сингонии с параметрами решетки:  $a$  9,60,  $c$  15,47 А,  $\rho$  (изм.) 5,40,  $\rho$  (выч.) 5,55,  $Z=8$ . Приведены значения  $I$  и  $d$  рентнограммы порошка Э. Пудовкина

X. 1966. 23

1966

$B_2O_3 - GeO_2$

4 Б586. Свойства стекол в системе  $B_2O_3 - GeO_2$ .  
Murthy M. K., Scroggie B. Properties of glasses  
in the system  $B_2O_3 - GeO_2$ . «Phys. and Chem. Glasses»,  
1966, 7, № 2, 68—69 (англ.)

Система  
из  
окислов

Оптическим, пикнометрич. и дилатометрич. методами  
исследованы 13 стекол системы  $B_2O_3 - GeO_2$ , полученных  
из  $GeO_2$  и  $HBO_3$ , сплавленных в Pt-тиглях при  $1400^\circ$  и  
закаленных. Для полученных стекол рассчитана общая  
мол. рефракция и найдены показатели преломления ( $n$ ),  
плотность при  $30^\circ$  и тепловое расширение при  $25-250^\circ$ .  
Установлено, что область стеклообразования простирает-  
ся от 100 до 0 мол. %  $GeO_2$ . В зависимости от состава  $n$   
меняет наклон кривой при 10,40 и 80%  $GeO_2$ ; плотность  
изменяется по закону, близкому к прямой; мол. рефрак-  
ция при 10 и 80%  $GeO_2$  имеет минимум и при 50%  
 $GeO_2$  — максимум. Отмечается, что св-ва стекла опре-  
деляются расположением треугольников  $BO_3$  и тетраэдр-  
ов  $GeO_4$ .  
Б. Доброцветов

X. 1967. 4

1966

PbO · x B<sub>2</sub>O<sub>3</sub>

21 Б592. Рентгенографическое исследование в системе  $\text{PbO}-\text{ZnO}-\text{B}_2\text{O}_3$ . Petzoldt Jürgen. Röntgenografische Untersuchungen im Oxidsystem  $\text{PbO}-\text{ZnO}-\text{B}_2\text{O}_3$ . «Glastechn. Ber.», 1966, 39, № 3, 130—136 (нем.; рез. англ., франц.)

Тот

Рентгенографически (*I* и *d*) изучены фазы, образующиеся в тройной системе  $\text{PbO}-\text{ZnO}-\text{B}_2\text{O}_3$ . Смеси сплавлялись и гомогенизировались в Pt-тиглях на воздухе при 600—1400°. Т. пл. определялась в градиентной печи с точностью  $\pm 5^\circ$ . Помимо двойных соединений  $4\text{PbO} \cdot \text{B}_2\text{O}_3$ ,  $2\text{PbO} \cdot \text{B}_2\text{O}_3$  (I),  $5\text{PbO} \cdot 4\text{B}_2\text{O}_3$ ,  $\text{PbO} \cdot 2\text{B}_2\text{O}_3$ ,  $\text{ZnO}$ .

71

X. 1966. 21



•  $\text{V}_2\text{O}_3$ ,  $5\text{ZnO} \cdot 2\text{V}_2\text{O}_3$  (II) установлены след. тройные фазы:  $4\text{PbO} \cdot 2\text{ZnO} \cdot 5\text{V}_2\text{O}_3$  (III),  $\text{PbO} \cdot 2\text{ZnO} \cdot \text{V}_2\text{O}_3$  (IV) и  $2\text{PbO} \cdot \text{ZnO} \cdot \text{V}_2\text{O}_3$  (V) с низкой симметрией. III плавится конгруэнтно при  $680^\circ$ , IV и V — инконгруэнтно при  $730$  и  $575^\circ$ . Кристаллооптически найдено, что тройные соединения двусосные, отрицательные. На изотермич. разрезах ниже  $600^\circ$  выделены области кристаллизации V и неидентифицированной фазы приблизительного состава  $\text{PbO} \cdot \text{ZnO} \cdot 2\text{V}_2\text{O}_3$ . В области, обогащенной  $\text{V}_2\text{O}_3$ , обнаружена ликвация расплавов. Высокотемпературной дифрактометрией подтверждены высокоскоростные превращения  $\alpha \rightarrow \beta$  для I и высокий — низкий для II. В. Доброцветов

Pb · 2B<sub>2</sub>O<sub>3</sub>

Perloff A.

1966

Block S

красн.  
сп-ра

"Acta crystallogr."

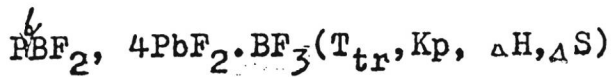
1966, 20, №, 274-9



(Cv. 54-B) I

1966

V-5532



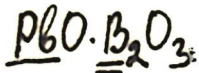
Raver J., Pape R. de, Hagenmuller P.

Bull. Soc., chim. France, 1966, N1, 240-44

Action de BF<sub>3</sub> sur les deux variétés  
allotropiques de PbF<sub>2</sub>. Le système PbF<sub>2</sub>BF<sub>3</sub>.

PJX., 1966, 20<sup>5</sup>430

M., Be.



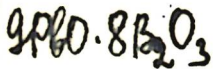
(T<sub>tr</sub>)

ЗД-У-5714

1967

3 Б645. Диборат свинца  $\text{PbO} \cdot \text{B}_2\text{O}_3$ . Bauer, Helmut, Plötscher, Günter. Über Bleidiborat,  $\text{PbO} \cdot \text{B}_2\text{O}_3$ . «Z. anorgan. und allgem. Chem.», 1967, 350, № 5-6, 271—280 (нем.; рез. англ.)

С помощью рентгеновского и хим. методов анализа, ДТА и ТГА исследована система  $\text{PbO} - \text{B}_2\text{O}_3$  в области составов  $\text{PbO} \cdot 2\text{B}_2\text{O}_3 - 5\text{PbO} \cdot 4\text{B}_2\text{O}_3$ . Образцы рентгеноаморфной гидратированной (до 10%  $\text{H}_2\text{O}$ ) фазы  $\text{PbO} \cdot \text{B}_2\text{O}_3$  получены в атмосфере  $\text{CO}_2$  добавлением в водн. р-р  $\text{Pb}(\text{CH}_3\text{COO})_2$  водн. р-ров  $\text{H}_3\text{BO}_3$  и  $\text{NH}_3$ . После нагрева осадка до  $\sim 200^\circ$  получалась рентгеноаморфная фаза  $\text{PbO} \cdot \text{B}_2\text{O}_3$  (I), кристаллизовавшаяся при т-ре  $> 400^\circ$  с образованием, в зависимости от т-ры, 3 модификаций  $\text{PbO} \cdot \text{B}_2\text{O}_3$ :  $\alpha$ ,  $\beta$  и  $\gamma$ . Форма  $\gamma$  образуется при нагреве I



(T<sub>m</sub>)

ж. 1968. 3

до  $420^\circ$ ; подъем т-ры до  $460\text{--}500^\circ$  или нагрев I до т-ры выше  $420^\circ$  со скоростью  $25\text{--}100$  град/час приводит к образованию  $\beta\text{-PbO}\cdot\text{V}_2\text{O}_3$ . При нагреве до  $550^\circ$   $\beta\text{-PbO}\cdot\text{V}_2\text{O}_3$  переходит в  $\alpha\text{-PbO}\cdot\text{V}_2\text{O}_3$ , образование  $\alpha$ -модификации протекает также при нагреве I до  $480^\circ$  со скоростью  $300$  град/час, а также при нагреве  $\gamma$ -модификации до  $530^\circ$  или выдержке  $\beta\text{-PbO}\cdot\text{V}_2\text{O}_3$  при  $460\text{--}500^\circ$ . Все 3 модификации  $\text{PbO}\cdot\text{V}_2\text{O}_3$  являются метастабильными и процессы превращения  $\gamma\rightarrow\beta\rightarrow\alpha$  протекают в одну сторону.  $\alpha\text{-PbO}\cdot\text{V}_2\text{O}_3$  плавится incongruently при  $600^\circ$  с образованием  $\text{PbO}\cdot 2\text{V}_2\text{O}_3$ . В изученной части системы зафиксировано еще одно метастабильное соединение  $9\text{PbO}\cdot 8\text{V}_2\text{O}_3$  кристаллизующееся из расплава с  $76\text{--}80\%$   $\text{PbO}$  при  $460\text{--}500^\circ$  совместно с  $\alpha\text{-PbO}\cdot\text{V}_2\text{O}_3$  и  $5\text{PbO}\cdot 4\text{V}_2\text{O}_3$ . В чистом состоянии  $9\text{PbO}\cdot 8\text{V}_2\text{O}_3$  получено при нагревании стекл с отношением  $\text{PbO} : \text{V}_2\text{O}_3 = 9 : 8$ , а также при взаимодействии при  $460\text{--}500^\circ$   $\text{Pb}(\text{NO}_3)_2$  с  $\gamma\text{-PbO}\cdot\text{V}_2\text{O}_3$  или  $\text{H}_3\text{VO}_3$ , взятых в соответствующих отношениях.  $9\text{PbO}\cdot 8\text{V}_2\text{O}_3$  плавится incongruently при  $520^\circ$  с выделением, в зависимости от степени чистоты,  $\alpha\text{-PbO}\cdot\text{V}_2\text{O}_3$  или  $\text{PbO}\cdot 2\text{V}_2\text{O}_3$ . Построены диаграммы состояния для стабильного и 2 метастабильных состояний  $\text{PbO}\cdot 2\text{V}_2\text{O}_3\text{--}5\text{PbO}\cdot 4\text{V}_2\text{O}_3$ .

4 PbO · B<sub>2</sub>O<sub>3</sub>  
2 PbO · B<sub>2</sub>O<sub>3</sub>

Билеев И.М.,  
Медведева Л.И.

1967

МНХ

12, N 7, 1956

Системы PbO - Pb(BO<sub>2</sub>)<sub>2</sub> - CdWO<sub>4</sub>

и PbO - WO<sub>3</sub> - CdO.

● (См. 3 PbO · CdWO<sub>4</sub>)

B - Pb - O

1967

5 Б700. Термохимия жидкой системы окись двухвалентного свинца — окись бора при 800°. Holm, J. L., Kleppa, O. J. Thermochemistry of the liquid system lead (II) oxide — boron oxide at 800°. «Inorgan. Chem.», 1967, 6, № 4, 645—648 (англ.)

Определены парц. энтальпии растворения  $PbO$  (I) и  $B_2O_3$  (II) в двойной жидкой системе I—II при 800° в пределах конц-ий  $PbO$  от 0,83 до 0,33 мольной доли. Измерения проводились в высокотемпературном микрокалориметре. Данные представлены в виде таблицы двух графиков зависимости  $\bar{H}$  от состава смеси. Точки перегиба на графиках интерпретированы по теории Люкса—Флуда для кислотно-основного взаимодействия в расплавах окислов, как соответствующие образованию двух комплексных борсодержащих анионов с отношением кислорода к бору 3,5—4 и 1,84—1,91, соответственно.

Л. Кулакова

2. 1968. 5

1968

$(CH_3)_3SiB_5H_{12}$ ;  $(CH_3)_2GeB_5H_{12}$   
 $H_3SiB_5H_{12}$ ,  $H_3GeB_5H_{12}$  (p, Tm)  $\bar{V}$  6386

Fairies D.F., Jones T.V.  
J. Amer. Chem. Soc., 1968, 90, 1424  
6617-6621 (corr.)

Group IV derivatives of pentaborane (9).

РИХ Кум., 1969  
12 B149

Л. С. К. Н.

Б (9)

Копировать!

8

Ж - 1159.

1968

Кинематическая 138.

$(CH_3)HPF_3$ ,  $(C_2H_5)HPF_3$ ,  $(CH_3)_2OPF_5$ ,  
 $(C_2H_5)_2OPF_5$ ,  $POF_3$ ,  $PF_6^-$ ,  $PF_3$ ,  $RPF_4$ ,  $R_3SnPF_6$ ,  
 $R_3SnX$ , где  $X = ClO_4$ ,  $AsF_6$ ,  $SbF_6$ ,  $BF_4$ ,  
 $R = CH_3$ ,  $C_2H_5$ ,  $C_2H_3$ . (Кр)

Goodrich R. Ж.

Dissert. Abstr., 1968, B28 (8), 3204-  
3205

СЖ, 1968, 69, с 4; 1544

B

~~BP-1-6104~~  
BP-1-6104

1968

~~PbO.2B<sub>2</sub>O<sub>3</sub>~~  
PbO.2B<sub>2</sub>O<sub>3</sub>

$\Delta H_m$

54962h Enthalpy of fusion of PbO.2B<sub>2</sub>O<sub>3</sub>. Ricker, J. M.;  
Bergeron, C. G.; Eagan, R. J. (Univ. of Illinois, Urbana, Ill.).  
J. Amer. Ceram. Soc. 1968, 51(7), 410 (Eng). The enthalpy of  
fusion of PbO-2B<sub>2</sub>O<sub>3</sub> was detd. by quant. D.T.A. The av. was  
31.5 kcal./mole. J. C. Tallman

C, A. 1988. 69. 14

Pb-борат

ВФ-1-1004

1968

PbO·2B<sub>2</sub>O<sub>3</sub>

6 Б837. Энтальпия плавления  $PbO \cdot 2B_2O_3$ . Ricker J. M., Bergeron C. C., Eagan R. J. Enthalpy of fusion of  $PbO \cdot 2B_2O_3$ . «J. Amer. Ceram. Soc.», 1968, 51, № 7, 410 (англ.)

ΔH м

Энтальпия плавления  $\Delta H$   $PbO \cdot 2B_2O_3$  (I) определена методом колич. ДТА. В кач-ве эталона использован KCl, установка проверена также по NaCl и KJ. Образцы растертых кристаллов I, выращенных из стеклообразного I при т-ре, близкой к т-ре максим. скорости кристаллов (Ia), или из переохлажденного расплава (Iб), нагревались с постоянной скоростью 4,2 град/мин. Величина  $\Delta H$  равна 86,8 и 86,3 ккал/г Ia и 87,6 ккал/г Iб, среднее значение  $\Delta H$  равно 131,5 ккал/моль. Вычислены значения энтальпии, энтропии и изобарно-изотермич. потенциала перехода кристаллы I — стекло при 25°, равные соотв. 22,8 ккал/моль, 20,2 энтр. ед. и 16,7 ккал/моль. И. Б. Маркина

X. 1969. 6

80812.62

Ch

Комплексы  
трис-8-хинолинолато  
та с Al, Ga, As (Ж).

1968  
V 6364

Saito Kazuo, Takahashi Michihiko, Miyakawa Yukio, Masuda Kazuyo. Kinetics of isotopic exchange between 8-quinolinol-<sup>14</sup>C and tris-8-quinolinolato complexes of trivalent typical elements. "Bull. Chem. Soc. Japan", 1968, 41, N 5, 1139-1142 (англ.)

797

800

6 В 51

сеть С.К.

ВИНИТИ

$PbO \cdot 2B_2O_3$

ВФ-3216а) - XII

1969

6 Б742. Кристаллизация  $PbO \cdot 2B_2O_3$  из переохлажденного расплава. De Luca J. P., Eagan R. J., Bergeron C. G. Crystallization of  $PbO \cdot 2B_2O_3$  from its supercooled melt. «J. Amer. Ceram. Soc.», 1969, 52, № 6, 322—326 (англ.)

Стеклообразный  $PbO \cdot 2B_2O_3$  приготавливался путем сплавления  $Pb_3O_4$  и  $H_3BO_3$  в платиновом тигле. После втор. переплавки стекло содержало 34,27 мол.%  $PbO$ . Расплав дибората охлаждался ниже точки плавления ( $T_{пл.} = 774^\circ$ ), вводилась стеклообразная затравка, и после нек-рой выдержки расплав быстро охлаждался. Внутри стеклообразной матрицы вырастали кристаллы  $PbO \cdot 2B_2O_3$ . Исследовалась т-рная зависимость вязкости расплава и стекла при охлаждении (в пределах

$T_m$

X. 1970. 6

900—588°) и скорость роста (в интервале 605—775°). Наибольшая скорость роста наблюдалась в направлении [001] в интервале 672—692° и составляла 109—111 м/мин. Анализ эксперим. данных показывает, что процесс удовлетворительно описывается теорией Торнболла—Козна. Ниже т-р, при к-рых наблюдается максим. скорость роста, последняя контролируется скоростью диффузии комплексов В—О через межфазовую границу кристалл—стекло, причем энергия активации этого процесса оценивается по зависимости логарифма вязкости от обратной т-ры. При более высоких т-рах скорость роста контролируется р-цией на межфазовой границе. Отмечается, что расплав и кристаллы несколько различны по составу — 34,3 и 33,3 мол. % PbO соотв.

А. С. Борщевский

В-Ge  
система

13 Б936. Система бор—германий. Bidwell L. R.  
The boron—germanium system. «J. Less—Common Metals», 1970, 20, № 1, 19—27 (англ.)

1970

Система В—Ge изучена с помощью рентгеновского, металлографич. и термич. методов, а также микрорентгеноспектрального анализа. Образцы сплавов приготовлены нагревом смесей порошков Ge и В в атмосфере He и в вакууме до  $900\text{--}2075^\circ$  (тигель BN). Соединения в системе В—Ge не образуются, эвтектич. точка В+Ge совмещается с точкой плавления Ge. Взаимная р-римость В и Ge при эвтектич. т-ре ( $937^\circ$ ) незначительна, так же как и р-римость Ge в тв. бориде Si и сплавах Si—В с высоким содержанием В. В жидк. фазе установлено расслаивание расплавов; расплавы с высоким содержанием В претерпевают монотектич. распад на В и расплав, обогащенный Ge; монотектич. точка расположена между 70 и 90 ат.% В. Р-римость Ge в В при повышенных т-рах  $\leq 3$  ат.%. Л. В. Шведов

X. 1970, 13

РВВ6 0 ео

красн.

298-2000°K

(1965 $\frac{1}{2}$ )

ГАНФ, Иузг.

1991

Pb<sub>2</sub>BiO<sub>4</sub>

MANAF, II уф.

1971

спуск.

298-2000°K

(1965<sub>2</sub>)

РВ В404

Срочн.

298-2000К

(1965г)

У АН АФ, II изд.

1971

$PbB_2O_4$

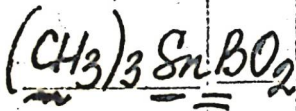
У АНАФ, II 139.

1971

красит

100-2000°K

(19652)



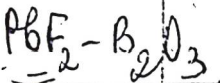
1) 24 В42. Реакция метабората серебра с бромидом триметиллова. Deу К. Reaction of silver metaborate with trimethyltin bromide. «Z. anorg. und allg. Chem.», 1971, 383, № 3, 338—340 (англ., рез. нем.)

Кипячением эквимол. кол-в  $Me_3SnBr$  и  $AgBO_2$  в смеси  $C_6H_6Me_2CO$ , фильтрованием и упариванием фильтрата под вакуумом получен белый крист.  $Me_3SnBO_2$  (I), т. пл.  $110-1^\circ$ . I хорошо р-рим в  $H_2O$ ,  $EtOH$ ,  $Me_2CO$ ,  $Pu$ ; максимумы поглощения I в этих р-рителях, соотв., при 217, 216, 245, 255 нм. Расплав I до  $160-2^\circ$  гомог., при  $\sim 165^\circ$  затвердевает, образующаяся тв. масса не изменяется при нагревании до  $\sim 300^\circ$ . Получен ИК-спектр I.

И. В. Никитин

X. 1971 24

1972



cupelmas

$(\Delta H, \Delta S)$   
p

145444b Physicochemical study of the lead(II) fluoride-boron oxide system. Sapozhnikov, Yu. L.; Andrushchenko, N. S.; Bezrukova, E. A.; Titova, A. G.; Melekh, B. T. (USSR). *Zh. Neorg. Khim.* 1972, 17(3), 852-6 (Russ). A partial phase diagram is constructed for the  $PbF_2 - B_2O_3$  system up to ~70 mole %  $B_2O_3$ . Above 20 mole %  $B_2O_3$ , the system forms glass, and no cryst. matter is present in the system with >30 mole %  $B_2O_3$ . The chem. compn. of phases and enthalpy and entropy data are given for the system at 900-1290°.

Cupelmas

C.A. 1972. 76. 24



1973

$\text{PbO} \cdot \text{B}_2\text{O}_3$

$\text{PbO} \cdot 2\text{B}_2\text{O}_3$

Varin Y, et al.

V.I; p. 627, 628

298-1500

298-2000

coll. AG F-I

B<sub>2</sub>O<sub>3</sub>-PbO

1973

70808z Thermodynamic properties of the system lead monoxide-boron oxide. Kapoor, M. L.; Froberg, M. G. (Inst. Allg. Metall., Tech. Univ., Berlin, Ger.). *Can. Met. Quart.* 1973, 12(2), 137-46 (Eng). The activities and partial molar enthalpies, entropies, and free energies of the B<sub>2</sub>O<sub>3</sub>-PbO system were detd. at 1000° by measuring the emf. of the cells Pb|PbO + B<sub>2</sub>O<sub>3</sub>||ZrO<sub>2</sub> + CaO/O<sub>2</sub>|Pt at 750-1050°. These properties show neg. deviation from Raoult's law. The results are discussed in terms of chain polymer and defect structure models.

ΔH; ΔS

C.A.

1973

79 N12

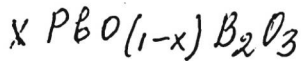
PbO·2,5 B<sub>2</sub>O<sub>3</sub>

1973

(T<sub>t2</sub>; T<sub>m</sub>)

102550g Lead monoxide-boron oxide-water system at 50 and 100°. Smirnova, G. M.; Zdanovskii, A. B.; Sushkova, S. G.; Zhitkova, T. N.; Leont'eva, I. A.; Shishkina, Z. I. (Ural. Nauchno-Issled. Khim. Inst., Sverdlovsk, USSR). *Zh. Neorg. Khim.* 1973, 18(2), 518-22 (Russ). The solubilities are given for the system PbO-B<sub>2</sub>O<sub>3</sub>-H<sub>2</sub>O at 50 and 100°. At 50°, the system forms PbO·2B<sub>2</sub>O<sub>3</sub>·3H<sub>2</sub>O and, at 100°, 4PbO·5B<sub>2</sub>O<sub>3</sub>·2.5H<sub>2</sub>O, PbO·2.5B<sub>2</sub>O<sub>3</sub>·2H<sub>2</sub>O, and 3PbO·10B<sub>2</sub>O<sub>3</sub>·9H<sub>2</sub>O. All Pb borates have a low soly. and dissolve in H<sub>2</sub>O incongruently. The hydrates were identified by chem. anal., x-ray diffraction, and ir spectra. The PbO·2.5B<sub>2</sub>O<sub>3</sub>·2H<sub>2</sub>O loses H<sub>2</sub>O at >220°, then undergoes some phase transitions at 585 and 630° and subsequently m. 640°. Its ir spectrum reveals the presence of the [B<sub>5</sub>O<sub>7</sub>(OH)<sub>3</sub>]<sup>2-</sup> anions.

C.A. 1973. 78 N 16



$$x = 0 - 1$$

ammuc 3260 | 1974

Slough W., et al.

(m.g. eb-6A)

Natl. Phys. Lab. (U.K.)  
Div. Chem. Stand., Rept 1974,  
N 31, 21 pp.

● (cu.  $\text{B}_2\text{O}_3$ ; I)

1978

XV-3618

$\text{BeO}_2$ - $\text{BaO}_3$  (P, Kp)

Шульц М.М., Столорова В.Л.,  
Семёнов Г.А.;

Физ. хим. стекла 1978, 4(6), 653-67

Масс-спектрометр. р. исследований  
термодинам. свойств смесей

С.А. 1979, 20, N 24, 1933-29d

М (Ф)

1980

2PbO.B<sub>2</sub>O<sub>3</sub>

✓ 94: 53839c Thermochemistry of glasses and liquids in the systems CaMgSi<sub>2</sub>O<sub>6</sub>-CaAl<sub>2</sub>Si<sub>2</sub>O<sub>8</sub>-NaAlSi<sub>3</sub>O<sub>8</sub>, SiO<sub>2</sub>-CaAl<sub>2</sub>Si<sub>2</sub>O<sub>8</sub>-NaAlSi<sub>3</sub>O<sub>8</sub>, and SiO<sub>2</sub>-Al<sub>2</sub>O<sub>3</sub>-CaO-Na<sub>2</sub>O. Navrotsky, A.; Hon, R.; Weill, D. F.; Henry, D. J. (Dep. Chem., Arizona State Univ., Tempe, AZ 85281 USA). *Geochim. Cosmochim. Acta* 1980, 44(10), 1409-23 (Eng). The heats of soln., mixing, vitrification, and fusion in 2PbO.B<sub>2</sub>O<sub>3</sub> at 712° were detd. for the systems albite-anorthite-diopside (1), albite-anorthite-quartz (2), Na<sub>2</sub>O-Al<sub>2</sub>O<sub>3</sub>-SiO<sub>2</sub> (3), and CaO-Al<sub>2</sub>O<sub>3</sub>-SiO<sub>2</sub>. The systems anorthite-albite and anorthite-diopside have neg. heats of mixing; those in albite-diopside are pos. The compns. contg. Na<sub>2</sub>O < 0.42 in (3) have zero heats of mixing. The heats of mixing in the liq. system (1) are similar to those of the glasses.

(all soln)



C.A. 1981. 94. 18

1980

$B_2O_3-GeO_2$

Shults M.M., et al

m. gum. cb ca

J. Non.-Cryst. Solids,  
1980, 38-39/21, 581-6.

ca Na<sub>2</sub>O-B<sub>2</sub>O<sub>3</sub> i<sup>-</sup>

1981

 $\text{SnF}_4 \cdot 2\text{BF}_3$ 

У 4 Б1200. Исследование диаграммы плавкости системы тетрафторид олова — трифторид брома. Митькин В. Н., Земсков С. В. «Изв. СО АН СССР. Сер. хим. н.», 1981, № 12/5, 42—47

С помощью ДТА (кривые нагревания, никелевые ампулы) исследовано взаимодействие в системе  $\text{BF}_3$ — $\text{SnF}_4$  в интервале концентрации  $\text{SnF}_4$  от 0 до 35,2 мол.%. Исходные в-ва получены фторированием Sn (чистота 99,9999%) и  $\text{Br}_2$ . В системе образуется эвтектика при  $t$ -ре  $-22 \pm 0,5^\circ \text{C}$  и  $14,5 \pm 0,5$  мол.%  $\text{SnF}_4$  и инконгруэнтно плавящееся при  $93 \pm 1^\circ \text{C}$  соединение  $\text{SnF}_4 \cdot 2\text{BF}_3$  (I). Термич. эффекты при  $60^\circ \text{C}$  отнесены к полиморф. превращению I. Получены ИК и ЯМР  $^{19}\text{F}$ -спектры соединения I и высказано предположение о его комплексной природе. Б. Г. Коршунов

Tm;

X. 1982, 19, 44

1981

 $\text{Bi}_3\text{Pb}_4\text{V}_7\text{O}_{19}$ 

7 Б891. Образование и некоторые свойства нового синтетического бората  $\text{Bi}_3\text{Pb}_4\text{V}_7\text{O}_{19}$ , полученного в тройной системе  $\text{Bi}_2\text{O}_3\text{—PbO—V}_2\text{O}_5$ . Рза-заде П. Ф., Шустер Н. С., Ганф К. Л., Султанова Э. Ю. «Химия кислород. соедин. бора. 5-е Всес. совещ. Тез. докл.» Рига, 1981, 118—119

 $T_m;$ 

С помощью ДТА, рентгенофазового анализа, ИК-спектроскопии и микроструктурных исследований изучены фазовые взаимодействия в системе  $\text{V}_2\text{O}_5$  (I)— $\text{PbO}$  (II)— $\text{V}_2\text{O}_5$  (III). Исследован разрез 3I·5III—4II·III. Выявлена область стеклообразования, к-рая простирается от 3I·5III до 95 мол. % 4II·III. Представлена диаграмма состояния разреза. Установлено образование соединения полимерного типа со структурной ф-лой  $\text{Bi}_3\text{Pb}_4\text{V}_7\text{O}_{19}$  (IV). IV — низкосимм. соединение, к-рое плавится конгруэнтно при  $670 \pm 10^\circ \text{C}$ ,  $\rho$  (изм.)  $7,038 \text{ г/см}^3$ . Расплав IV может быть охлажден в стекло с параметрами: т. разм.  $360 \pm 10^\circ \text{C}$ , коэф. линейного термич. расширения  $116 \cdot 10^{-7} \text{ град}^{-1}$ , показатель преломления  $n > 2$ , уд. сопротивление  $10^{15} \text{ Ом} \cdot \text{м}$  (при  $250^\circ \text{C}$ ), диэлектрич. постоянная  $\epsilon = 30$  и тангенс угла диэлектрич. потерь  $\text{tg} \delta = 0,0038$  (при  $25^\circ \text{C}$ ).

Л. Г. Титов

X. 1982, 19, N7.

Ві<sub>3</sub>Рв<sub>4</sub>В<sub>7</sub>О<sub>19</sub>

1981

1) 3 В1225. Физико-химическое исследование тройных систем  $\text{Vi}_2\text{O}_3\text{Me}_m\text{O}_n-\text{V}_2\text{O}_3$ . Раза-заде П. Ф., Тан-ривердиев В. С., Ганф К. Л., Шустер Н. С., Султанова Э. Ю. «12-й Менделеев. съезд по общ. и прикл. химии. Реф. докл. и сообщ. № 1». М., 1981, 97

Изучено взаимодействие в тройных системах  $\text{Vi}_2\text{O}_3-\text{M}_m\text{O}_n-\text{V}_2\text{O}_3$  ( $\text{M}=\text{Pb}, \text{Sm}$ ); построением 14 разрезов установлен характер хим. взаимодействия и определены области стеклообразования в системах. Найдены новые конгруэнтно плавящиеся полимерные соединения  $\text{Vi}_3\text{Pb}_4\text{V}_7\text{O}_{19}$  и  $\text{Sm}_2\text{Vi}_3(\text{VO}_3)_5$ , имеющие т. пл.  $670 \pm 10$  и  $810 \pm 10^\circ\text{C}$  соотв. Построены диаграммы Пв ликвидуса изученных тройных систем, определены границы полей кристаллизации фаз. На основании данных ИК-спектроскопии установлено, что атомы бора, в полученных впервые соединениях, имеют тройную координацию. Стекла, полученные в изученных системах, плохо под-

Tm

⊗  
(+1)

X. 1982, 19, №3.

даются кристаллизации, имеют высокие значения уд. электросопротивления, диэлектрич. проницаемости, показателя преломления и низкую  $t$ -ру размягчения (360—460° С). На базе легкоплавких стекол системы  $\text{Bi}_2\text{O}_3\text{—PbO—B}_2\text{O}_3$  разработано диэлектрич. покрытие для герметизации полупроводниковых приборов.

Б. Г. Кахан

И  
жл.

$V_2O_3 - PbO$

1982

1 Б827. Расчет диаграммы состояний системы  $V_2O_3 - PbO$ . Даниленко В. М., Андреева Т. В., Горячев Ю. М. «Ж. физ. химии», 1982, 56, № 9, 2304—2306

Отличительным признаком диаграммы состояния системы  $V_2O_3 - PbO$  является большое число промежуточных соединений и расслоение жидк. р-ра в области малых конц-ий  $PbO$ . Это обстоятельство делает исследование термодинамики данной системы достаточно трудоемким. Приведены результаты расчета диаграммы состояния  $V_2O_3 - PbO$ , к-рые позволили после сравнения расчетных и эксперим. данных определить модель диссоциации жидк. фазы системы. Автореферат

диаграмма  
состояния

X, 1983, 19, N1

$PbVPO_5$

1982

№ 8 Б439. Синтез и характеристика борофосфата и бороарсената свинца,  $PbVPO_5$  и  $PbVAsO_5$ . Synthèse et caractérisation d'un borophosphate et d'un borarséniate de plomb,  $PbVPO_5$  et  $PbVAsO_5$ . Tarte Pierre, De Wispelaere-Schröder Ursula. «С. г. Acad. sci.», 1982, 295, sér. 2, № 3, 351—354 (франц.; рез. англ.)

Осуществлен синтез (по различным методикам), рентгенографич. (метод порошка,  $\lambda Co$ ), спектроскопич. (спектры ИК и КР) исследования и ДТА соединений  $PbVPO_5$  (I) и  $PbVAsO_5$  (II). Соединения I и II структурны и характеризуются параметрами гексагон. решеток: I  $a$  6,910 Å,  $c$  6,871,  $\rho$  (изм.) 5,712,  $\rho$  (выч.) 5,768; II  $a$  7,113,  $c$  6,942,  $\rho$  (изм.) =  $\rho$  (выч.) = 6,109;  $Z$  3. По спектроскопич. данным установлена тетраэдрич. координация атома В и упорядоченное распределение тетраэдров  $VO_4$  и  $XO_4$  ( $X=P, As$ ) в структурах I и II. Предполагается структурная аналогия между I и II

④

Синтез,  
структура

X. 1983, 19, N8

и стиллвеллито-подобными соединениями  $\text{LnBSiO}_5$ . На кривых ДТА для I зафиксировано 2 эндотермич. пика при  $t$ -рах  $774^\circ$  и  $799^\circ$ , соответствующих последовательному плавлению и разложению; на кривых ДТА от I имеется лишь один эндотермич. пик при  $728^\circ$ , соответствующий одновременному плавлению и разложению. В обычных условиях соединения I и II неустойчивы и гигроскопичны; при стоянии на воздухе они претерпевают гидролиз по схеме:  $\text{PbVXO}_5 + 2\text{H}_2\text{O} \rightarrow \text{PbHXO}_4 + \text{H}_3\text{VO}_3$ . Приведены значения  $I$ ,  $d(hkl)$  рентгенограмм порошка I и II.

С. В. Соболева

$Pb_4O[Pb_2(BO_3)_3Cl]$

1983

8 Б2056. Структура  $Pb_4O[Pb_2(BO_3)_3Cl]$ . Hexalead chloride triorthoborate oxide,  $Pb_4O[Pb_2(BO_3)_3Cl]$ . Велм Helmut. «Acta crystallogr.», 1983, С39, № 10, 1317—1319 (англ.). Место хранения ГПНТБ СССР

Рентгенографически определена ( $\lambda$  Mo, анизотропный МНК,  $R$  0,057 для 1210 отражений) структура кристаллов  $Pb_4O[Pb_2(BO_3)_3Cl]$ , синтезированных сплавлением  $PbO$ ,  $PbCl_2$  и  $H_3BO_3$ . Параметры ромбич. решетки:  $a$  7,021,  $b$  17,218,  $c$  10,952 Å,  $\rho$  (изм.) 7,19,  $\rho$  (выч.) 7,38,  $Z$  4, ф. гр.  $Pbca$ . Атомы В в структуре находятся в плоской треугольной координации (В—О 1,29—1,40 Å). Две трети атомов Pb образуют тетраэдрич. группировки вокруг атома О (Pb—О 2,26—2,35, Pb—Pb 3,548—3,769 Å). Аналогичные тетраэдры  $Pb_4O$  ранее выявлены в структурах ланаркита  $Pb_2O(SO_4)$  и синтетич.  $2PbO \cdot PbSO_4$ . Оставшиеся атомы Pb сгруппированы в гантели Pb—Pb (3,555 Å), причем каждый из атомов Pb гантели имеет в ближайшем окружении 3 атома О. пин-

структура

ж. 1984, 19, № 8

надлежащих 3 группам  $\text{VO}_3$ , так что вся гантель  $\text{Pb}_2$  оказывается заключенной внутри тригон. призмы ( $\text{Pb}-\text{O}$  2,27—2,33). Атомы  $\text{Cl}$  заселяют в структуре сильно вытянутые октаэдрнч. положения, дополняя координацию атомов  $\text{Pb}$  обоих типов ( $\text{Pb}-\text{Cl}$  3,01—3,13 Å). С точки зрения найденной структуры дана интерпретация ИК-спектров и сильной дисперсии угла оптич. осей кристаллов, ограниченных основными простыми формами  $\{100\}$  и  $\{010\}$  и побочными  $\{001\}$  и  $\{201\}$ .

С. В. Соболева



$PbVO_2(2)$

$Pb_2VO_3$

и др.

Д.И.

1983

Семенович В.И.,

Автореферат диссертации  
на соискание ученой  
степени К.Х.Н., Москва,  
1983.



Дат. 19750

1983

PbVO<sub>2</sub>  
PbV<sub>2</sub>O<sub>4</sub>  
и гр. (2)

Семенихин В.И., Юрков Л.Ф.  
и гр.,

Кр, А+Н;

ВЕННИК Дел. N 1867-83.  
Москва, 1983.

2PbO · B<sub>2</sub>O<sub>3</sub>

1984

104: 40740p Thermochemical study of chkalovite Na<sub>2</sub>[BeSi<sub>2</sub>O<sub>6</sub>]. Kiseleva, I. A.; Mel'chakova, L. V.; Ogorodova, L. P.; Topor, N. D. (Mosk. Gos. Univ., Moscow, USSR). *Probl. Kalorim. Khim. Termodin., Dokl. Vses. Konf., 10th 1984*, 2, 408-10 (Russ). Edited by Emanuel, I. M. Akad. Nauk SSSR, Inst. Khim. Fiz.: Chernogolovka, USSR. Thermochem. properties of chkalovite were studied. Heat capacity and enthalpy (113-800 K) were detd. by using a differential scanning calorimeter. High-temp. soln. calorimetry was used to det. the heat of formation in 2PbO.B<sub>2</sub>O<sub>3</sub> soln. at 700°. The corresponding enthalpy functions ( $H^{\circ}_{973} - H^{\circ}_{298.15}$ ) were derived. The std. entropy and heat capacity are  $162.8 \pm 2.2$  and  $181.5 \pm 5.4$  J/mol.K, resp. The std. heat and free energy of formation are  $-3106.2 \pm 5.4$  and  $-2926.6 \pm 5.6$  kJ/mol, resp.

$\Delta_f H$ ,  $H_T - H_{298}$ ,

$C_p$ ;

C.A. 1986, 104, 46

B - Pb - Bi

1984

Заргарова М. И., Шустер Н. С.

Квазибинарные сечения  $PbO \cdot 2B_2O_3 - Bi_2O_3 \cdot 4B_2O_3$   
( $3Bi_2O_3 \cdot 5B_2O_3$ ) системы  $PbO - Bi_2O_3 - B_2O_3$ .

Журн. неорган. химии, 1984, т. 29, вып. 7,  
с. 1840—1843.

Библиогр.: 5 назв.

— — 1. Свинец, окись — Исследование в системах. 2. Висмут,  
окислы — Исследование в системах. 3. Бор, окислы — Исследова-  
ние в системах.

№ 102684

14 № 6745

ВКП 18.09.84

УДК 541.123.3

18.5

$B_2O_3 - GeO_2$

1985

Shultz et al., Stolyarova  
V. L., et al.

Kp; Adv. Glass Spectrom., 1985. 10th  
Int. Conf. Swansea 9-13 Sept.,  
1985. Pt B. Chichester, 1986,  
997-998.

(cv.  $Na_2O - B_2O_3$ ; I)

Pb<sub>0,5</sub>Sb<sub>0,5</sub>O<sub>3</sub>

1986

21 Б3264. Фазовые переходы в перовскитных соединениях с антисегнетоэлектрическими свойствами. Даниленко И. Н., Политова Е. Д., Лопатин С. С., Веневцев Ю. Н. «Сегнетоэлектрики». Минск, 1986, 65—75

Проведены рентгенографич., дилатометрич. исследования и диэлектрич. измерения в широком диапазоне частот перовскитных соединений общего состава PbV<sub>0,5</sub>Sb<sub>0,5</sub>O<sub>3</sub> с V=Lu, Yb, Tm, Er, Ho, Y и AV<sub>0,5</sub>Sb<sub>0,5</sub>O<sub>3</sub> с A=Ba, Sr, V=Fe, Sc, Lu, Yb, Tm. Уточнены значения т-р структурных фазовых переходов PbV<sub>0,5</sub>Sb<sub>0,5</sub>O<sub>3</sub> с V=Lu, Yb, Tm, Er, Mo. Обнаружена последовательность фазовых переходов из антисегнетоэлектрич. состояния в параэлектрич. у соединения PbY<sub>0,5</sub>Sb<sub>0,5</sub>O<sub>3</sub>. Выявлен фазовый переход в спонтаннополяризованное состояние у соединений SrV<sub>0,5</sub>Sb<sub>0,5</sub>O<sub>3</sub> с V=Fe, Sc.

Из резюме

III  
tr;

X. 1986, 19, N 21

$PbVO_2(2)$

Семенов Г. А.,

1986

Исследование структуры и  
энергетике молекулы.

$\Delta_f H;$

Межвузовский сборник науч-  
ных трудов Ивановского  
химико-технологического  
института, Иваново, 1986,  
132-140. (есть в картотеке)

Система

1986

$B_2O_3 - GeO_2 - SiO_2$

21 Б3085. Изучение термодинамических свойств компонентов системы  $B_2O_3 - GeO_2 - SiO_2$ . Шульц М. М., Иванов Г. Г., Столярова В. Л. «11 Всес. конф. по калориметрии и хим. термодинам., Новосибирск, 17—19 июня, 1986. Тез. докл. Ч. 1». Новосибирск, 1986, 130—131

термо-св-ла  
компонентов

X. 1986, 19, № 21

$BaO_3 - B_2O_3$

1986

24 Б2438. Расчет термодинамических свойств стеклообразующих расплавов  $B_2O_3-GeO_2$  и  $B_2O_3-SiO_2$ . Шулъц М. М., Иванов Г. Г., Столярова В. Л., Шахматкин Б. А. «Физ. и химия стекла», 1986, 12, № 4, 385—390.

В результате применения обобщенной решеточной теории ассоциированных р-ров для описания термодинамич. св-в расплавов систем  $B_2O_3-SiO_2$  и  $B_2O_3-GeO_2$  показана возможность описания их св-в в широкой обл. конц-ий. На примере расчета термодинамич. св-в расплавов системы  $B_2O_3-GeO_2$  показана возможность снижения кол-ва параметров (в данном случае энергии взаимнообмена  $U_{BO}B_2O_3B_2C_3$ , одинаковой для 2 систем), необходимых для расчета св-в бинарных систем при наличии достаточного кол-ва данных об уже рассчитанных системах. Обсуждены св-ва расплавов систем с точки зрения относит. числа наиболее вероятных связей, образующихся в них. Из резюме

расчет тер-  
моу. св-в

(4) ~~12~~

Х. 1986, 19, № 24

BbeSix

(om. 27820)

1987

Amano T., Beaudry B.J.  
Greineidner K.A., Jr., et al.

HT-No;

J. Appl. Phys., 1987,

62, N. 3, 819-823.

Система (Ом. 28200)

1987

Р60-В2Д3-Р2Д5

Бондарев Ю.М.,

Мальцев В.Т.,

граф.

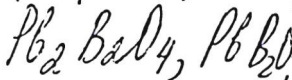
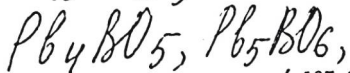
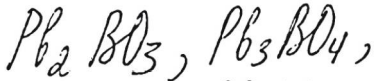
гвар.

д. Неотам. Хилми,

1987, ● 32, N 12,

3048-3051-

1987



(с. 11) массовый.

с. А. 1987, 107, № 26

107: 244022c Molecular composition of vapor and activity of components of lead monoxide-boron oxide melts. Semenikhin V. I.; Sorokin, I. D.; Yurkov, L. F.; Sidorov, L. N. (Mosk. G. Univ., Moscow, USSR). *Fiz. Khim. Stekla* 1987, 13(4), 542-5 (Russ). The vapor compn. was established by mass spectrometry and component activities in  $PbO-B_2O_3$  melts were detd. at 1100-1482 K. Std. heats of formation were calcd. for  $Pb_2BO_3$ ,  $Pb_3BO_4$ ,  $Pb_4BO_5$ ,  $Pb_5BO_6$ ,  $PbB_2O_3$ ,  $Pb_2B_2O_4$ ,  $Pb_3B_2O_6$ ,  $Pb_4B_2O_7$ , and  $Pb_5B_2O_8$  in the vapor phase.

$B_2O_3 - GeO_2$  (am. 28465)

1987

/106: 144973z Prediction of thermodynamic properties of binary glass-forming oxide melts. Shul'ts, M. M.; Ivanov, G. G.; Stolyarova, V. L. (Inst. Khim. Silik. im. Grebenshchikova, Leningrad, USSR). *Dokl. Akad. Nauk SSSR* 1987, 292(5), 1198-202 [Phys. Chem.] (Russ). The J. A. Backer (1952) method for the estn. of the thermodyn. properties of binary melts of oxides with glass-forming tendency was anal. by using the  $B_2O_3-GeO_2$  and  $B_2O_3-SiO_2$  systems as examples. Excess chem. potentials and free energies were calcd. by taking into account the structures of the oxides within their quasicryst. lattice. The bonds B-O(B), SiO(Si) and B-O(Si) and Si-O(B) were considered.

$\Delta f_i$

(A)

$B_2O_3 - SiO_2$

C.A. 1987, 106, n 18 ●

Система (от. 28466)

1986

$\text{BaD}_3 - \text{BeD}_2$

Шенцов Л.М., Ивашев П.Р.  
и др.,

разлет  
термост.  
св-в стекло-  
образующих  
расплавах

Физика и химия  
стекла, 1986, 12, N 4,  
385-390.

$PbVO_2$  и гр.

1987

Селенским В.4

Сорокин Ч.Д. и гр.

$\Delta H_f$  ;

$K_p$  ;

Физ. и химия стек-

ла, 1987, 13, N 4,

542-547.

(сер.  $VO_2$ ; I)

$Pb_2O-B_2O_3$  1987  
Ульяеву и.и.,  
Ведущева М.и. и др.

$\Delta H_f$ ; Изв. и сериях серия -  
Камов. И., 1987, 5-28.

(сер.  $Li_2O-B_2O_3$ ; I)

2Р60:В203 (ОМ 32032) 1989

Березовская Ю.М.,  
Семенов Ю.В. и др.,

ДКрастор.

Ж. физ. химии, 1989, 63,  
N5, 1368-1370.

Определяется эмпирически сие-  
шение тв. ● р-ров в системе

$\text{Bi}_2\text{O}_3$  -  $\text{Y}_2\text{O}_3$  методом высоко-  
температурной колоримет-  
рии растворения.

$B_2O_3 - GeO_2$  1989

Пилеоваров М. М.,  
Сейарогудиев А. М.  
10 Всес. совещ. по термодинам.

$\Delta H_f$ ; атом., Ленинград,  
серии, 1989; Мез. горн.  
[Л.], 1989. С. 74.

(сер.  $B_2O_3 - SiO_2$ , I)

Система

1989

$B_2O_3 - GeO_2 - SiO_2$

термод.  
св-ва,  $\Delta G$

х. 1989, № 17

17 Б3029. Термодинамические свойства стекол и расплавов борогерманокремнеземной системы / Столярова В. Л., Иванов Г. Г., Шульц М. М. // Докл. АН СССР.— 1989.— 305, № 2.— С. 383—386.— Рус.

Термодинамические св-ва расплавов и стекол системы  $B_2O_3 - GeO_2 - SiO_2$  при 1453 К в сечениях с постоянным отношением  $x_{B_2O_3} : x_{GeO_2}$  и в разрезах с постоянным содержанием  $SiO_2$  определены эффузионным методом Кнудсена. В паре присутствуют  $GeO$ ,  $B_2O_3$  и  $O_2$ . Парц. давл.  $B_2O_3$  и  $GeO$  определены методом сравнения интенсивности ионных токов. Значения  $\Delta G(x)$  представлены в виде куб. сплайнов. Термодинамич. св-ва расплавов и стекол вычислены с использованием обобщенной решеточной теории ассоциированных р-ров. Эксперим. данные интерпретированы как следствие изменения числа связей различного типа в стеклах.

Л. А. Резницкий

$\text{V}_2\text{O}_5 - \text{GeO}_2$

1993

) 7 БЗ056. Вязкость и электропроводность расплавов системы  $\text{V}_2\text{O}_5 - \text{GeO}_2$  /Бахвалов С. Г., Пастухов Э. А., Денисов В. М., Мусихин В. И., Истомин С. А. //Расплавы .—1993 .—№ 4 .—С. 88—90 .—Рус.

X. 1994, N 7

B-Sn

1996

124: 300022t The B-Sn (boron-tin) system. Itkin, V. P. (Department Metallurgy Materials Science, University Toronto, Toronto, ON Can. M5S 3E4). *J. Phase Equilib*, 1996, 17(2), 129-30 (Eng). A boron-tin phase diagram was assessed.

фазовая  
диаграмма

C. A. 1996, 124, N 22